

Referálás az alábbi cikke: “Long-range Longitudinal Electric wave in Vacuum Radiated by Electric Dipole: Part I.”

Tari Balázs

Szeged

2023.



This work is licensed under a [Creative Commons Attribution-NonCommercial-NoDerivatives 4.0 International License](https://creativecommons.org/licenses/by-nc-nd/4.0/).

Tartalomjegyzék

1.	Kivonat	3
2.	Sugárzó rendszerek, multipólus sugárzás	4
3.	Középen táplált egyenes antenna	7
4.	Irodalomjegyzék	10



This work is licensed under a [Creative Commons Attribution-NonCommercial-NoDerivatives 4.0 International License](https://creativecommons.org/licenses/by-nc-nd/4.0/).

1. Kivonat

A. Zhakatayev és L. Tlebaldiyeva a cikkükben (Zhakatayev & Tlebaldiyeva, 2020) arról írnak, hogy lehet egy elektromos dipólus segítségével kelteni többek között nemcsak a távoli zónában terjedő transzverzális elektromágneses sugárzást, hanem ezzel egyidőben a longitudinális megfelelőjét. A cikk feldolgozása során több alapvető hibát véltem felfedezni. Jelen cikkben ezen hibákat igyeksem orvosolni.

Kulcsszavak: elektrodinamika, dipólus antenna



2. Sugárzó rendszerek, multipólus sugárzás

Az elektromágneses sugárzás mibenléte függ az őt létrehozó töltések, vagy áramok rendszerétől. Bonyolult rendszer esetén a közvetlen meghatározása nehézkes, olykor nem lehetséges. Mivel a Maxwell egyenletek lineárisak, az elektromos és mágneses mező lineárisan függ a forrásuk eloszlásától. Ez a linearitás felajánlja nekünk azt a lehetőséget, hogy a sugárzást (pontosabban a forrás struktúráját) felbontsuk egyre növekvő komplexitású momentumok összegére (felhasználva a szuperpozíció elvét). Mivel az elektromágneses tér erősebben függ az alacsonyabb rendű momentumoktól, mint a magasabb rendűektől, az elektromágneses tér a forrásának részletes ismerete nélkül is közelíthető. Tegyük fel, hogy a megfelelő \vec{J} áramok lokalizáltak, azaz egy véges térfogaton kívül eltűnnek. Vegyük fel az origót eme eme tartományon belül.

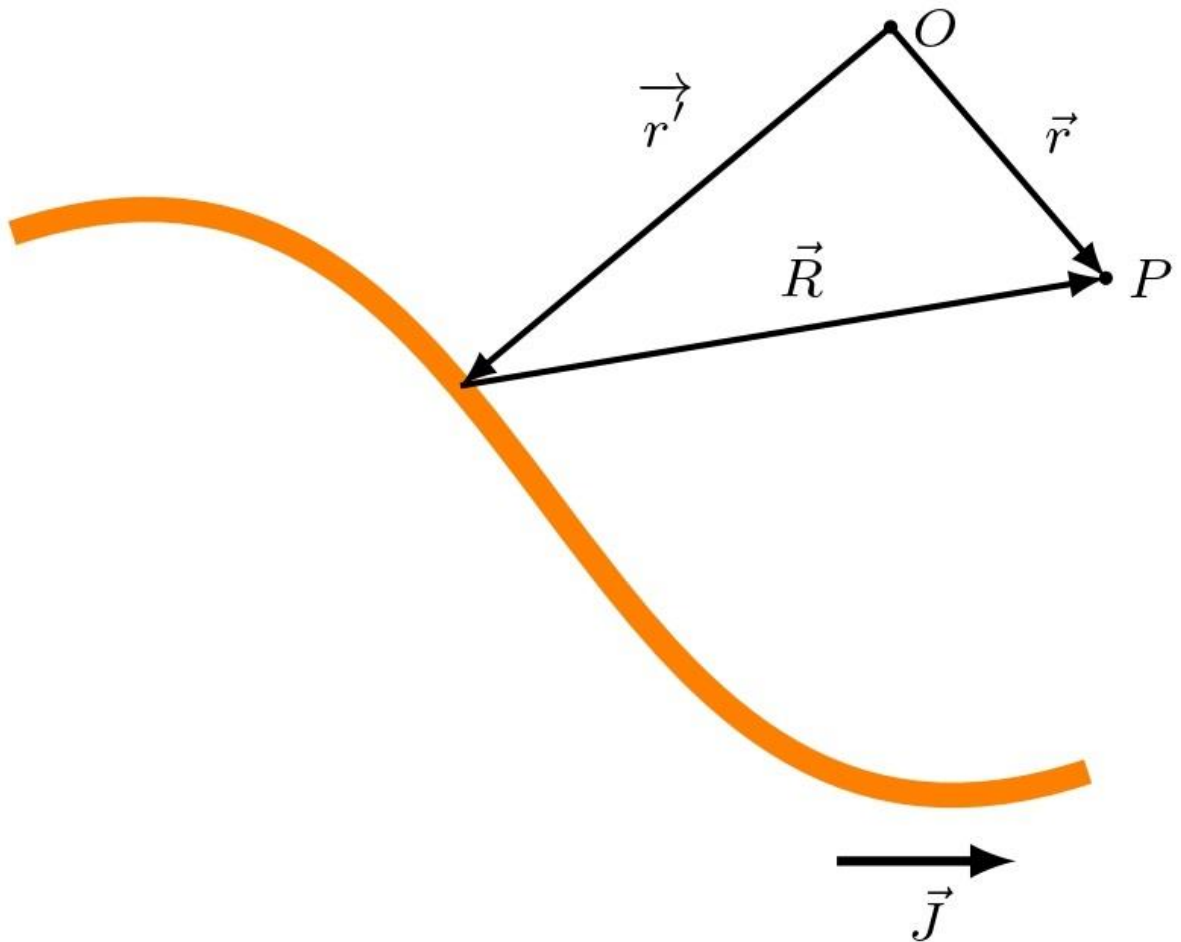


Figure 1



A klasszikus elektrodinamika nyomán már ismerjük az \vec{A} vektor potenciál alakját:

$$\vec{A}(\vec{r}, t) = \frac{\mu_0}{4 \cdot \pi} \int_V \frac{\vec{J}(\vec{r}', t')}{|\vec{r} - \vec{r}'|} dV' \quad 1.)$$

A t' retardált időkoordinátát pedig az alábbi módon lehet kifejezni:

$$t' = t - \frac{|\vec{r} - \vec{r}'|}{c} \quad 2.)$$

Egy olyan rendszerben, ahol a töltéssűrűség és az áramsűrűség időben változik, gyakran szokták alkalmazni azt a módszert, hogy különválasztják az időfüggő és a térfüggő részt. Periodikus időfüggést feltételezve:

$$\rho(\vec{r}, t) = \rho(\vec{r}) \cdot e^{-i\omega t} \quad 3.)$$

$$\vec{J}(\vec{r}, t) = \vec{J}(\vec{r}) \cdot e^{-i\omega t} \quad 4.)$$

Tegyük fel, hogy a potenciáloknak és a mezőknek is hasonló az időfüggése. Több szempontot figyelembe véve és némi levezetés után a vektor potenciál térfüggő része az alábbi alakra módosul:

$$\vec{A}(\vec{r}) = \frac{\mu_0}{4 \cdot \pi} \int_V \vec{J}(\vec{r}') \cdot \frac{e^{i \cdot k \cdot |\vec{r} - \vec{r}'|}}{|\vec{r} - \vec{r}'|} dV' \quad 5.)$$

, ahol $k = \omega/c$ a hullámszám, és a szinuszos időfüggést nem írtuk le. A mágneses térerősséget a

$$\vec{H} = \frac{1}{\mu_0} \cdot \vec{\nabla} \times \vec{A} \quad 6.)$$

képlet adja meg, az elektromos térerősség pedig

$$\vec{E} = -\frac{d\vec{A}}{dt} \quad 7.)$$

A multipólus sugárzás egy olyan elméleti eszköztár, ami nagyszerűen jellemzi az időfüggő forrásoktól származó az elektromágneses, vagy gravitációs sugárzást. A multipólus sugárzás vizsgálatánál alkalmazott technikák némileg hasonlítanak amiket a sztatikus források vizsgálatára használnak. Azonban az elemzés részleteiben lényeges különbségek vannak, mivel az időfüggő mezők másként viselkednek, mint a sztatikusak. A multipólus momentumtól származó mező mind az origótól való távolságtól, mind egy kiértékelő pont koordináta rendszerhez viszonyított szögirányától is függ. A forrás méretétől, a sugárzás hullámhosszától és az origótól való távolságtól függően három zónát különböztetünk meg: közeli, középső és távoli zóna. A közeli zónában a forrástól való távolság jóval kisebb mint a hullámhossz ($\lambda \gg r$). Ekkor a mező kvázi statikusan viselkedik és $k \cdot r \ll 1$. A középső zónában a forrástól való távolság összemérhető a hullámhosszal ($\lambda \approx r$).



A középső zónáról nem beszélünk sokat, mivel nagyon összetett. A távoli zónában a forrástól való távolság jóval nagyobb mint a hullámhossz ($\lambda \ll r$). Ebben a tartományban az

$$|\vec{r} - \vec{r}'| \approx r - \hat{n} \cdot \vec{r}' \quad 8.)$$

Közelítéssel érünk célt, ahol \hat{n} az \vec{r} irányú egységvektor. Továbbá, ha pusztán a $k \cdot r$ -ben vezető rendű tagra vagyunk kíváncsiak, úgy az 5.) kifejezés nevezőjében szereplő távolság r -el helyettesíthető. Ekkor a vektorpotenciál:

$$\lim_{k \cdot r \rightarrow \infty} \vec{A}(\vec{r}) = \frac{\mu_0}{4 \cdot \pi} \cdot \frac{e^{i \cdot k \cdot r}}{r} \int_V \vec{J}(\vec{r}') \cdot e^{-i \cdot k \cdot \hat{n} \cdot \vec{r}'} dV' \quad 9.)$$

Ebből leolvasható, hogy a távoli zónában a vektorpotenciál szögfüggő együtthatóval leírható kimenő gömbhulámként viselkedik. Könnyen belátható, hogy a (6.) és (7.) összefüggésekből számított mezők a rádiuszvektorra merőlegesek (transzverzálisak), és a távolsággal $1/r$ szerint csengenek le, tehát sugárzási tereknek felelnek meg.



3. Középen táplált egyenes antenna

Bizonyos sugárzó rendszerekben az áram geometriája elegendően egyszerű ahhoz, hogy a vektorpotenciál 5.) integrálját az áram alakjának ismeretében viszonylag könnyen zárt alakra hozzassuk. Példaként tekintsünk egy d hosszúságú, vékony, egyenes antennát, melyet a közepén elhelyezkedő kicsiny résen keresztül gerjesztünk.

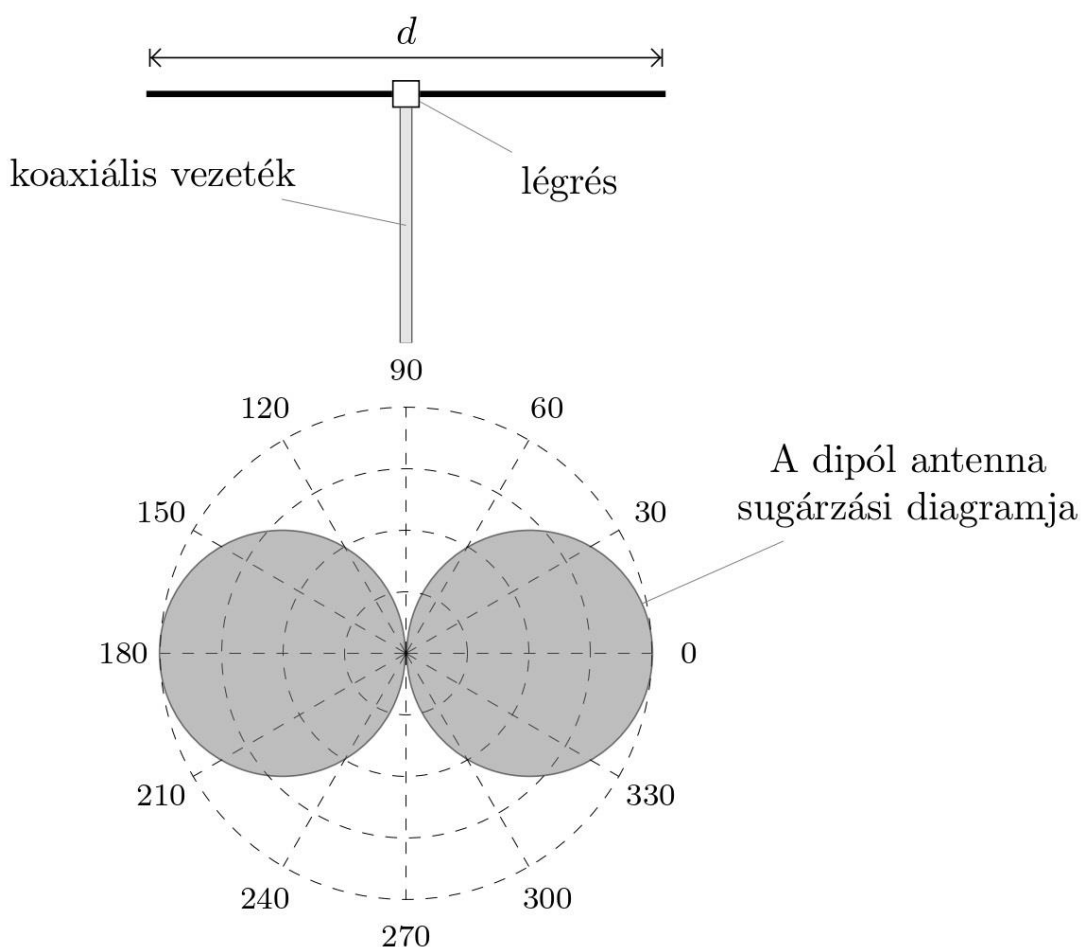


Figure 2

Álljon antennánk a z -tengely irányába, középpontja pedig helyezkedjen el az origóban, Amennyiben az antenna elegendően vékony, és a sugárzás kibőcsátásából fakadó csillapítás elanyagolható, úgy az antenna mentén folyó áram térben és időben egyaránt szinuszosnak vehető, hullámszáma $k = \omega/c$. Az áram az antenna két ágában szimmetrikus és a két végpontjában eltűnik. Így $|z| < (d/2)$ -re az áramsűrűség

$$\vec{J}(\vec{r}) = I \cdot \sin\left(\frac{k \cdot d}{2} - k \cdot |z|\right) \cdot \delta(x) \cdot \delta(y) \cdot \hat{z} \quad 10.)$$



alakú. A delta-függvények gondoskodnak arról, hogy az áram csakis a z-tengely mentén folyhasson. Ha $k \cdot d \geq \pi$, akkor az áram csúcsértéke I. Az áram erőssége a tápláló részben $I_0 = I \cdot \sin\left(\frac{k \cdot d}{2}\right)$. A 10.) áramsűrűség z-irányú vektorpotenciált eredményez, melynek hullámzónabeli alakja 9.) alapján:

$$\vec{A}(\vec{r}) = \hat{z} \cdot \frac{\mu_0 \cdot I}{4 \cdot \pi} \cdot \frac{e^{i \cdot k \cdot r}}{r} \int_{-d/2}^{d/2} \sin\left(\frac{k \cdot d}{2} - k \cdot |z|\right) \cdot e^{-i \cdot k \cdot z \cdot \cos \vartheta} dz \quad (11.)$$

Exponenciális időfüggést feltételezve és retardált időkoordinátát felhasználva:

$$\begin{aligned} \vec{A}(\vec{r}, t) = & \hat{z} \cdot \frac{\mu_0 \cdot I}{4 \cdot \pi} \cdot \frac{e^{i \cdot k \cdot r}}{r} \int_{-d/2}^{d/2} \sin\left(\frac{k \cdot d}{2} - k \cdot |z|\right) \cdot e^{-i \cdot k \cdot z \cdot \cos \vartheta} \cdot e^{-i \cdot \omega \cdot t_r} dz = \\ & \hat{z} \cdot \frac{\mu_0 \cdot I}{4 \cdot \pi} \cdot \frac{e^{i \cdot r \cdot \left(k + \frac{\omega}{c}\right) - i \cdot \omega \cdot t}}{r} \int_{-d/2}^{d/2} \sin\left(\frac{k \cdot d}{2} - k \cdot |z|\right) \cdot e^{-i \cdot z \cdot \cos \vartheta \cdot \left(k + \frac{\omega}{c}\right)} dz \end{aligned} \quad (12.)$$

Az integrálás elemi úton elvégezhető, eredménye:

$$\begin{aligned} \vec{A}(\vec{r}, t) = & \hat{z} \cdot \frac{\mu_0 \cdot 2 \cdot I}{4 \cdot \pi} \cdot \frac{e^{i \cdot r \cdot \left(k + \frac{\omega}{c}\right) - i \cdot \omega \cdot t}}{\left(k + \frac{\omega}{c}\right) \cdot r} \\ & \cdot \left[\frac{\cos\left(\frac{\left(k + \frac{\omega}{c}\right) \cdot d}{2} \cdot \cos \vartheta\right) - \cos\left(\frac{\left(k + \frac{\omega}{c}\right) \cdot d}{2}\right)}{\sin^2 \vartheta} \right] \end{aligned} \quad (13.)$$

Térjünk át gömbi polárkoordináta rendszerbe és használjuk fel az alábbi azonosságot:

$$\hat{z} = \cos \vartheta \cdot \hat{r} - \sin \vartheta \cdot \hat{\vartheta} \quad (14.)$$

A 6.) egyenlet szerint számoljuk ki a mágneses térerősséget. Látható, hogy csak a $\hat{\varphi}$ komponens fog megmaradni.

$$\vec{H} = \frac{1}{\mu_0} \cdot \vec{\nabla} \times \vec{A} = \frac{1}{\mu_0} \cdot \frac{1}{r} \cdot \left(\frac{\partial}{\partial r} (r \cdot A_\vartheta) - \frac{\partial A_r}{\partial \vartheta} \right) \cdot \hat{\varphi} \quad (15.)$$

Látható, hogy csak a $\hat{\varphi}$ komponens fog megmaradni. A 7.) egyenlet szerint számoljuk ki az elektromos térerősséget. Látható, hogy az \hat{r} és $\hat{\vartheta}$ komponens fog megmaradni.

$$\vec{E} = -\hat{r} \frac{dA_r}{dt} - \hat{\vartheta} \cdot \frac{dA_\vartheta}{dt} \quad (16.)$$

Távoli zóna közelítésben ($k \cdot r \gg 1$) az elektromos és mágneses térerősség az alábbi módon fog alakulni:



$$E_{\vartheta} = i \cdot \frac{Z_0 \cdot I}{2 \cdot \pi} \cdot e^{i \cdot r \cdot \left(k + \frac{\omega}{c}\right) - i \cdot \omega \cdot t} \cdot \left[\frac{\cos\left(\frac{\left(k + \frac{\omega}{c}\right) \cdot d}{2} \cdot \cos \vartheta\right) - \cos\left(\frac{\left(k + \frac{\omega}{c}\right) \cdot d}{2}\right)}{\sin \vartheta} \right] \quad 17.)$$

$$H_{\varphi} = \frac{E_{\vartheta}}{Z_0} \quad 18.)$$

$$\vec{H} = \frac{1}{Z_0} \cdot \hat{n} \times \vec{E} \quad 19.)$$

$$\vec{E} = Z_0 \cdot \vec{H} \times \hat{n} \quad 20.)$$

$$Z_0 = \sqrt{\frac{\mu_0}{\varepsilon_0}} \quad 21.)$$

, ahol Z_0 a vákuum hullámimpedanciája.



4. Irodalomjegyzék

Zhakatayev, A., & Tlebaldiyeva, L. (2020). Long-Range Longitudinal Electric Wave in Vacuum Radiated by Electric Dipole: Part I. *Radio Science*, 55(5), 1-18.

